

Chapitre 21

L'essentiel de la radioanatomie digestive en 10 coupes et 5 reconstructions

Figure 21.1 : Reconstruction 1 : niveaux des coupes épaisses des figures 21.2 (niveau 1) et 21.3 (niveau 2) représentées sur une reconstruction coronale abdominale tomodensitométrique après injection d'iode

Source : Olivier Lucidarme

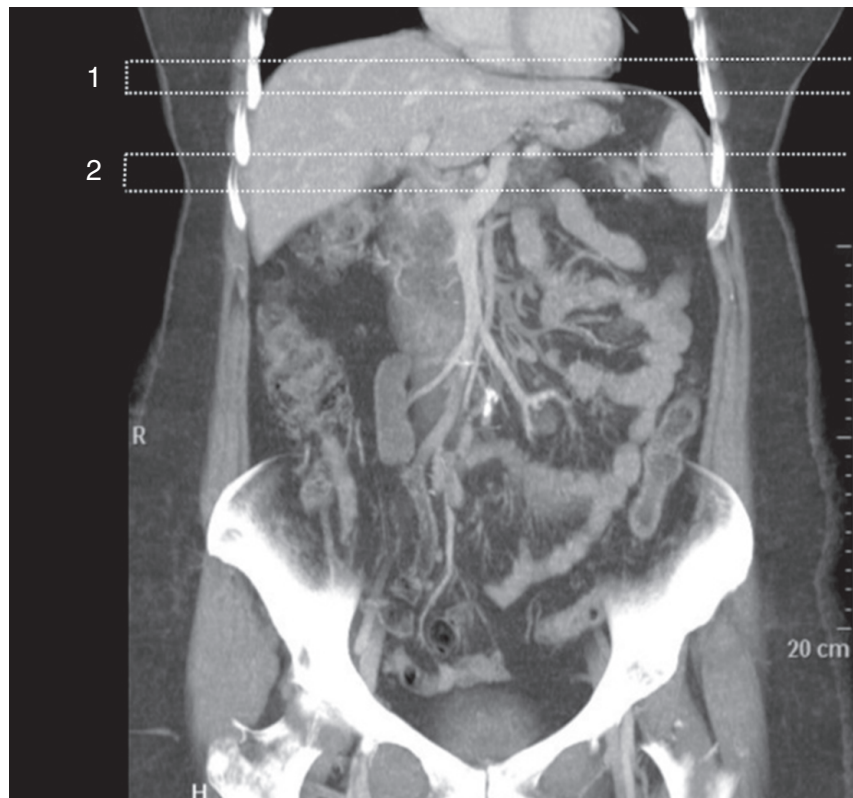


Figure 21.2 : Coupe 1 : coupe axiale tomодensitométrique de 3 cm d'épaisseur après injection d'iode faisant ressortir préférentiellement les veines hépatiques passant par le dôme hépatique

1. Aorte abdominale ; 2. veine cave inférieure ; 8. veine hépatique gauche ; 9. veine hépatique médiane ; 10. veine hépatique droite ; 11. lobe gauche (constitué des segments II et III) ; 12. segment IV ; 11 + 12. foie gauche ; 13. secteur antérieur (ou paramédian) droit constitué des segments V (au-dessous du plan de la division portale) et VIII (au-dessus du plan de la division portale) ; 14. secteur postérieur (ou latéral) droit constitué des segments VI (au-dessous du plan de la division portale) et VII (au-dessus du plan de la division portale) ; 15. estomac.

Source : Olivier Lucidarme

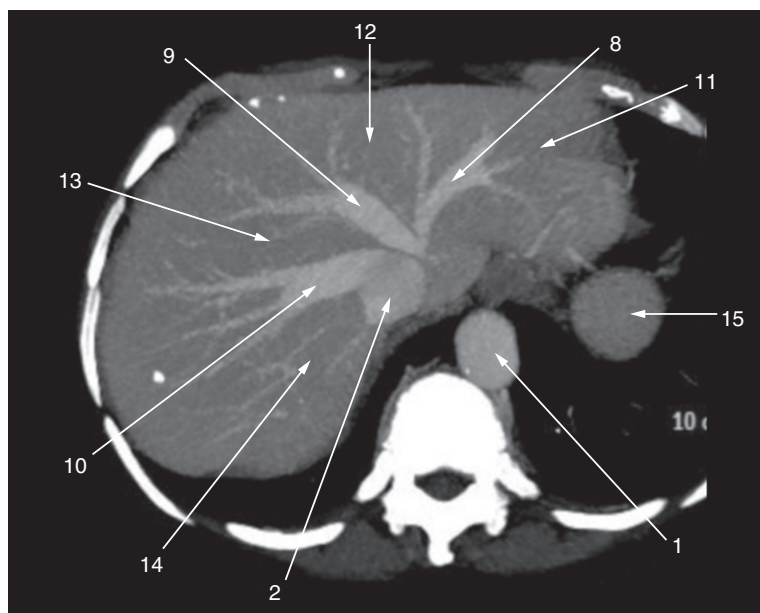


Figure 21.3 : Coupe 2 : coupe axiale tomодensitométrique de 3 cm d'épaisseur après injection d'iode faisant ressortir préférentiellement les vaisseaux porte passant par le hile hépatique

1. Aorte abdominale ; 2. veine cave inférieure ; 3. tronc de la veine porte ; 4. branche porte gauche ; 5. branche porte droite ; 6. branche porte du secteur antérieur (ou paramédian) droit ; 7. branche porte du secteur postérieur (ou latéral) droit ; 8. veine hépatique gauche ; 9. veine hépatique médiane ; 10. veine hépatique droite ; 11. lobe gauche (constitué des segments II et III) ; 12. segment IV ; 11 + 12. foie gauche ; 13. secteur antérieur (ou paramédian) droit constitué des segments V (au-dessous du plan de la division portale) et VIII (au-dessus du plan de la division portale) ; 14. secteur postérieur (ou latéral) droit constitué des segments VI (au-dessous du plan de la division portale) et VII (au-dessus du plan de la division portale) ; 15. estomac ; 16. rate ; 17. veine hépatique accessoire inférieure droite (inconstamment présente, s'abouche dans la veine cave inférieure à la hauteur du plan de la division portale) ; 18. tronc coélaïque.

Source : Olivier Lucidarme

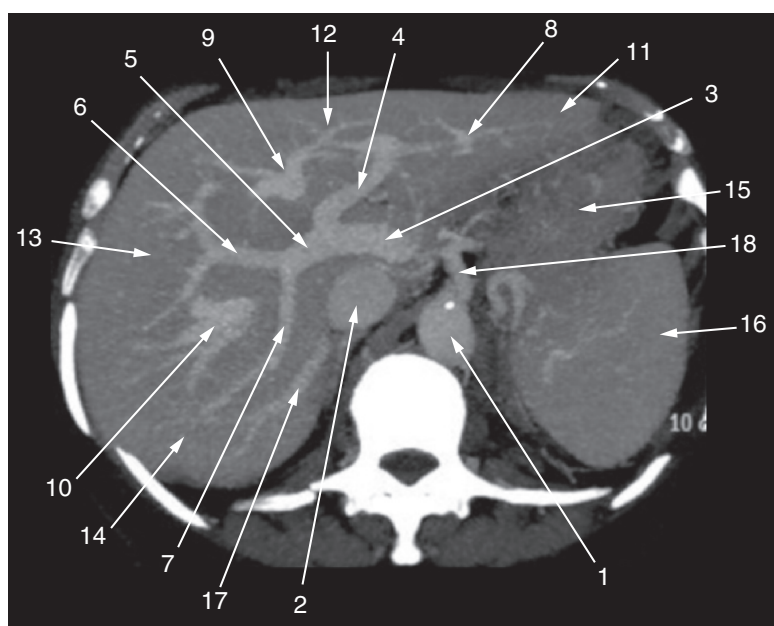


Figure 21.4 : Coupe 3 : séquence coronale oblique de bili-IRM en coupe de 30 mm d'épaisseur représentant l'arbre biliaire (les petites voies biliaires distales n'apparaissent pas car elles sont trop fines) et le conduit de Wirsung

1. Conduit de Wirsung ; 2. papille (sphincter d'Oddi) ; 3. voie biliaire principale : conduit cholédoque en aval de la convergence avec le conduit cystique ou conduit hépatique commun en amont ; 4. conduit cystique ; 5. conduit hépatique gauche ; 6. conduit hépatique droit ; 7. vésicule biliaire.

Source : Olivier Lucidarme

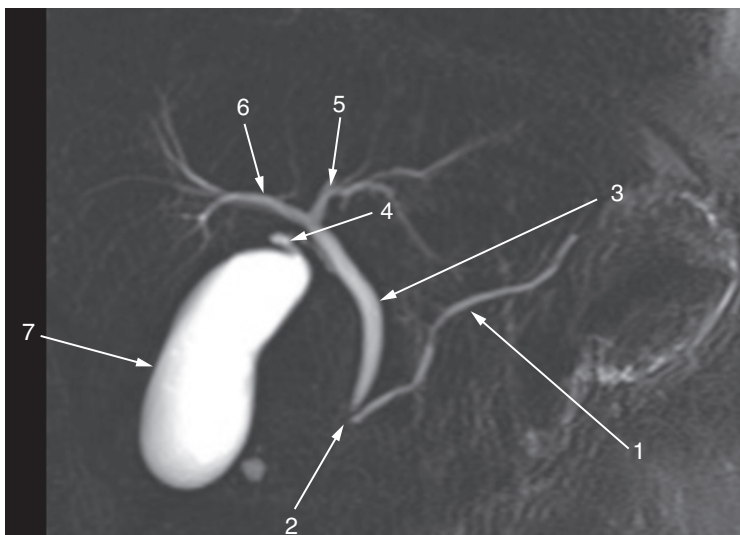


Figure 21.5 : Vue inférieure du foie, des vaisseaux porte et des veines hépatiques. Image reconstruite à partir de l'ensemble des coupes axiales tomодensitométriques fines jointives passant par le foie (couleurs arbitraires)

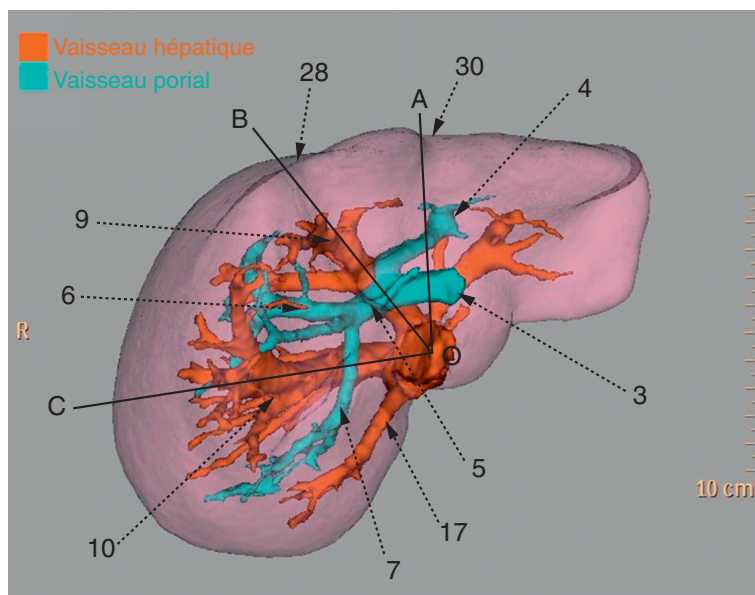
3. Tronc de la veine porte ; 4. branche porte gauche ; 5. branche porte droite ; 6. branche porte du secteur antérieur (ou paramédian) droit ; 7. branche porte du secteur postérieur (ou latéral) droit ; 9. veine hépatique médiane ; 10. veine hépatique droite ; 17. veine hépatique accessoire inférieure droite (inconstamment présente, s'abouche dans la veine cave inférieure à la hauteur du plan de la division portale) ; 28. lit vésiculaire ; 30. encoche du ligament rond : limite anatomique entre le lobe gauche (segments II et III) et le lobe droit (segments IV, V, VI, VII et VIII).

Plan OB : plan de séparation du foie droit et du foie gauche passant en haut par la veine sus-hépatique médiane, en bas par le lit vésiculaire et en arrière par la veine cave inférieure.

Plan OA : plan de séparation du lobe droit (foie droit plus segment IV) et du lobe gauche (segments II et III) passant par le plan du ligament falciforme et en arrière par la veine cave inférieure.

Plan OC : plan de séparation du secteur antérieur (ou paramédian) droit et du secteur postérieur (ou latéral) droit passant en haut par la veine sus-hépatique droite et en arrière par la veine cave inférieure.

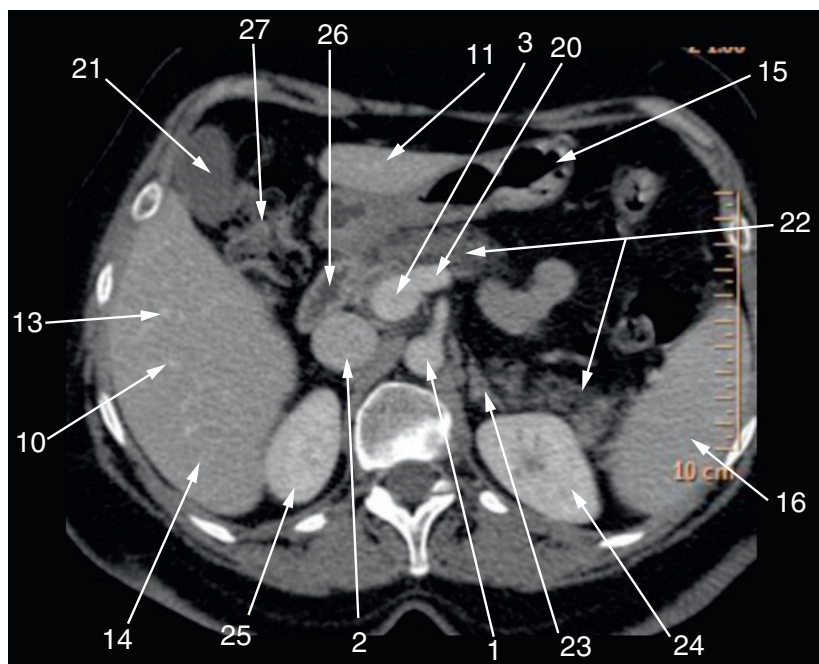
Source : Olivier Lucidarme



**Figure 21.6 Coupe 4 : coupe axiale tomодensitométrique fine après injection d'iode passant par :
l'abdomen sus-mésocolique**

1. Aorte abdominale ; 2. veine cave inférieure ; 3. tronc de la veine porte ; 10. lobe gauche (constitué des segments II et III) ; 13. secteur antérieur (ou paramédian) droit constitués des segments V (au-dessous du plan de la division portale, vu sur cette coupe) et VIII (au-dessus du plan de la division portale) ; 14. secteur postérieur (ou latéral) droit constitués des segments VI (au-dessous du plan de la division portale, vu sur cette coupe) et VII (au-dessus du plan de la division portale) ; 15. estomac ; 16. rate ; 20. veine splénique ; 21. vésicule biliaire ; 22. pancréas ; 23. glande surrénale gauche ; 24. rein gauche ; 25. rein droit ; 26. deuxième duodénum ; 27. angle colique droit.

Source : Olivier Lucidarme



**Figure 21.7 : Coupe 5 : coupe axiale tomодensitométrique fine après injection d'iode passant par
l'abdomen sus-mésocolique**

1. Aorte abdominale ; 2. veine cave inférieure ; 15. estomac ; 16. rate ; 21. vésicule biliaire ; 22. pancréas ; 23. glande surrénale gauche ; 24. rein gauche ; 25. rein droit ; 29. Segments V et VI du foie ; 32. veine mésentérique supérieure ; 33. artère mésentérique supérieure ; 34. côlon droit ; 35. côlon gauche.

Source : Olivier Lucidarme

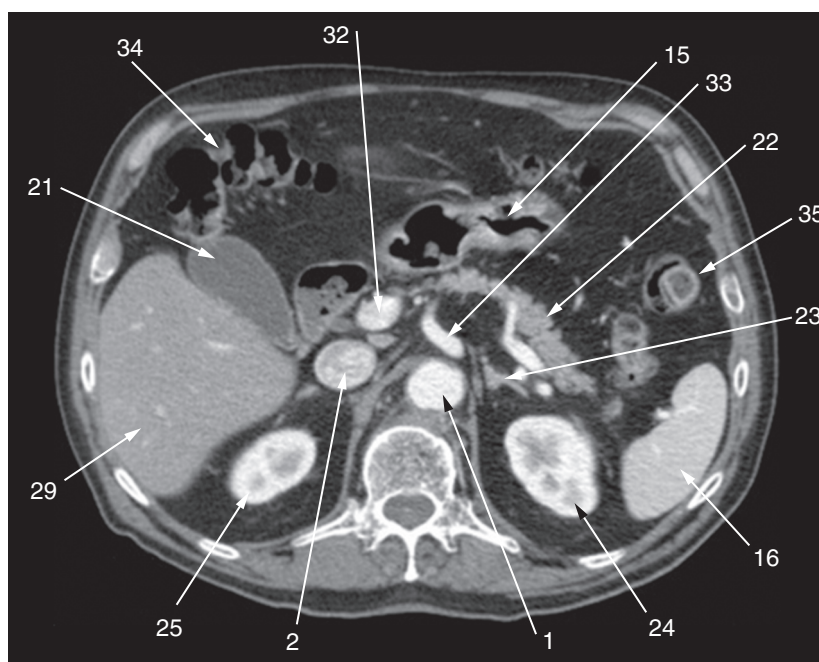


Figure 21.8 : Coupe 6 : coupe axiale tomодensitométrique fine après injection d'iode passant par l'abdomen sus-mésocolique

1. Aorte abdominale ; 2. veine cave inférieure ; 24. rein gauche ; 25. rein droit ; 29. segment VI du foie ; 32. veine mésentérique supérieure ; 33. artère mésentérique supérieure ; 34. côlon droit ; 35. côlon gauche ; 36. côlon transverse ; 37. anses grêles ; 38. troisième duodénum.

Source : Olivier Lucidarme.

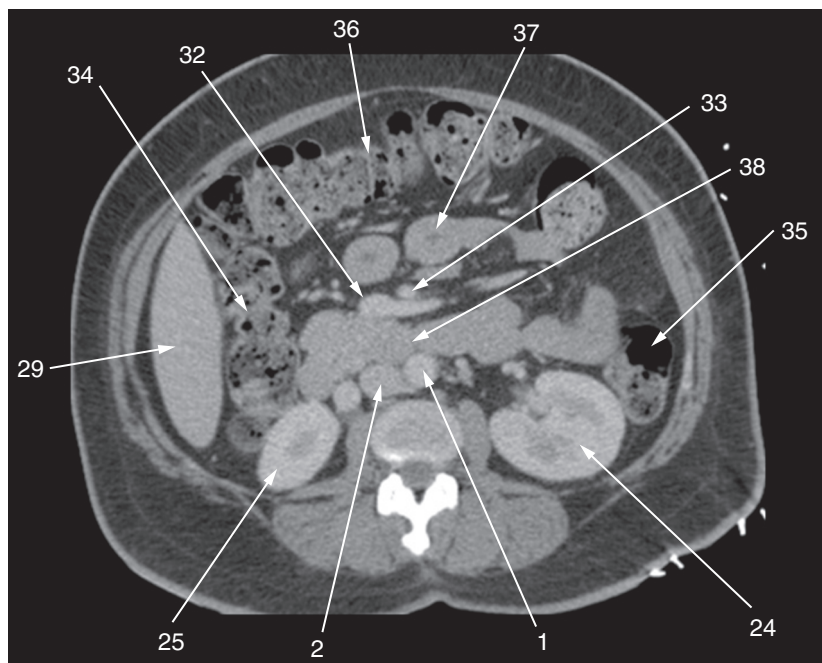


Figure 21.9 : Reconstruction 3 : reconstruction coronale tomодensitométrique après injection d'iode du pédicule spléno-mésentérico-porte

2. Veine cave inférieure ; 3. tronc de la veine porte ; 5. branche porte droite ; 10. veine hépatique droite ; 11. lobe gauche (constitué des segments II et III) ; 14. secteur postérieur (ou latéral) droit constitué des segments VI (au-dessous du plan de la division portale) et VII (au-dessus du plan de la division portale) ; 20. veine splénique ; 32. veine mésentérique supérieure ; 33. artère mésentérique supérieure.

Source : Olivier Lucidarme

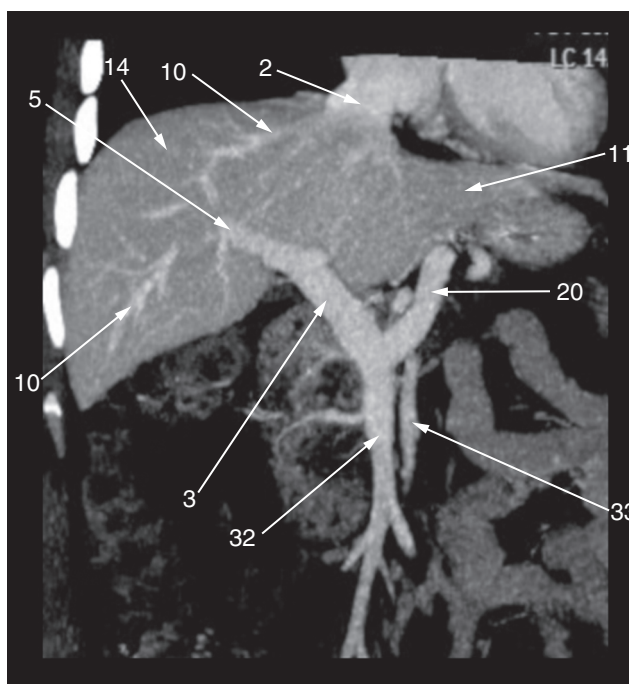


Figure 21.10 : Reconstruction 4 : reconstruction tomодensitométriques en 3D après injection d'iode de l'aorte abdominale avec le tronc cœliaque, l'artère mésentérique supérieure et leurs branches de division vue de face. Les autres branches de l'aorte abdominale ont été effacées

1. Aorte (avec plaques d'athérome calcifiées) ; 2. artère mésentérique supérieure ; 3. tronc cœliaque ; 4. artère hépatique commune ; 5. artère gastroduodénale ; 6. artère hépatique propre ; 7. branche droite de l'artère hépatique ; 8. branche gauche de l'artère hépatique ; 9. artère splénique ; 10. artère gastrique gauche.

Source : Olivier Lucidarme

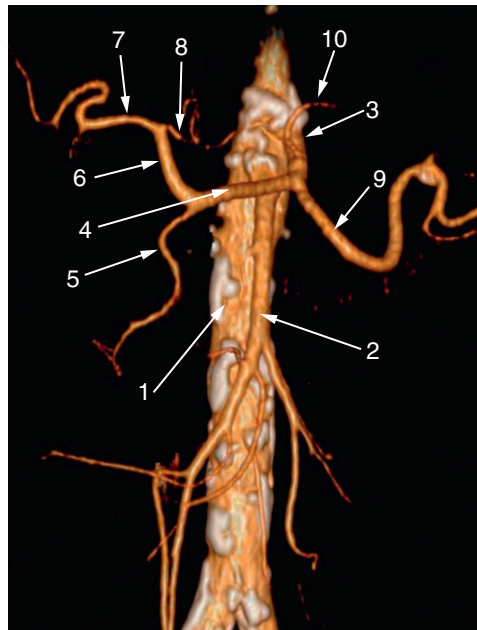


Figure 21.11 : Coupe 7 : coupe axiale en IRM (séquence pondérée T2) d'un pelvis masculin passant par la prostate

1. Rectum ; 10. mésorectum ; 12. fascia de Denonvilliers ; 16. prostate ; 25. vaisseaux fémoraux ; 27. cotyle ; 28. tête fémorale ; 29. sacrum ; 30. pubis ; 32. muscle obturateur interne ; 34. muscle grand fessier.

Source : Olivier Lucidarme

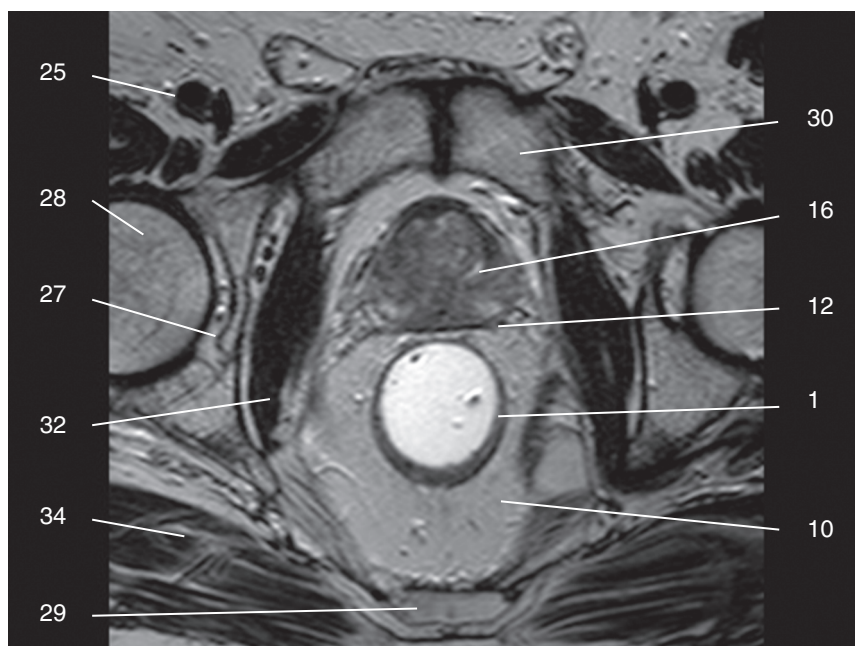


Figure 21.12 : Coupe 8 : coupe sagittale en IRM (séquence pondérée T2) d'un pelvis masculin passant par la prostate

2. Bas rectum ; 3. moyen rectum ; 4. haut rectum ; 14. cul-de-sac de Douglas ; 15. vessie ; 16. prostate ; 17. vésicules séminales ; 23. urètre ; 29. sacrum ; 30. pubis.

Source : Olivier Lucidarme



Figure 21.13 : Coupe 9 : coupe axiale en IRM (séquence pondérée T2) d'un pelvis féminin passant par le col utérin

1. Rectum ; 10. mésorectum ; 13. fascia rectovaginal ; 15. vessie ; 20. col utérin ; 25. vaisseaux fémoraux ; 27. cotyle ; 28. tête fémorale ; 34. muscle grand fessier.

Source : Olivier Lucidarme

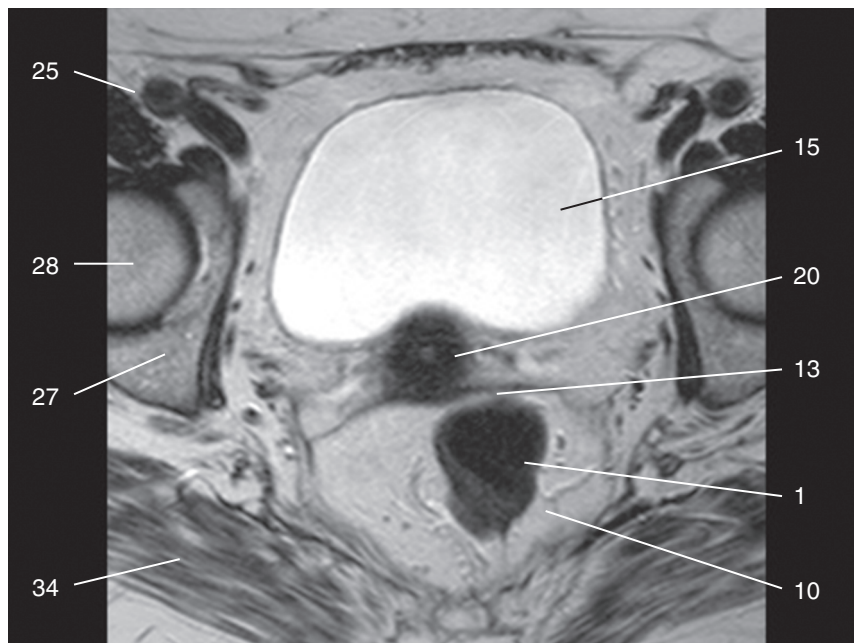


Figure 21.14 : Coupe 10 : coupe sagittale en IRM (séquence pondérée T2) d'un pelvis féminin.

1. Rectum ; 14. cul-de-sac de Douglas ; 15. vessie ; 19. utérus ; 20. col utérin ; 21. vagin ; 29. sacrum ; 30. pubis
Source : Olivier Lucidarme

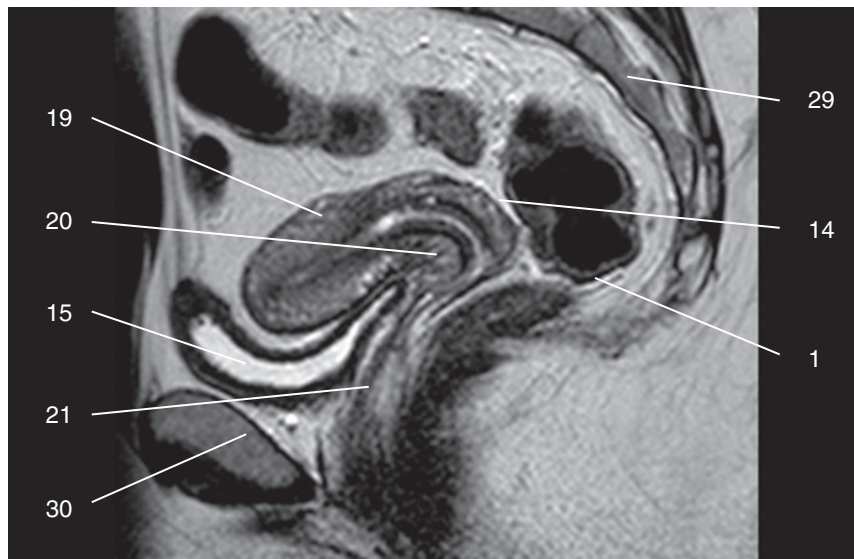


Figure 21.15 : Reconstruction 5 : représentation 3D du côlon vu de face après insufflation de sa lumière par du CO₂ (obtenue à partir de l'ensemble des coupes axiales fines jointives passant par le côlon)

1. Rectum ; 2. côlon sigmoïde ; 3. côlon gauche ou côlon descendant ; 4. angle colique gauche ; 5. côlon transverse ; 6. angle colique droit ; 7. côlon droit ou côlon ascendant ; 8. caecum.
Source : Olivier Lucidarme

